Laboratorium EMVO Sp. J. Urbański, Pawelak
ul. Jasna 1
00-013 Warszawa

tel. +48 22 780 29 64
e-mail: laboratorium@emvo.pl

AB 1630

Sprawozdanie z pomiarów pól elektromagnetycznych - środowisko nr 22/07/OŚ/2025– P4-W



Nr i nazwa stacji	**WAR2056D**	
Adres	**Marki, Fabryczna 1, pow. wołomiński, woj. mazowieckie**	
Opracowanie	**Martyna Karczmarczyk**	**Specjalista ds. opracowań**
Autoryzacja	**Andrzej Urbański**	**Kierownik Laboratorium**
Podpis	Signature Not Verified Dokument podpisany przez Andrzej Urbański; Laboratorium EMVO Data: 2025.07.11 08:48:07 CEST	
Data	**2025-07-10**	

„Bez pisemnej zgody Laboratorium niniejsze sprawozdanie nie może być powielane inaczej, jak tylko w całości. Ponadto wyniki dotyczą tylko badanych obiektów przywołanych w niniejszym sprawozdaniu z badań”

Spis treści

1. Informacje ogólne. 3
2. Podstawa prawna. 3
3. Opis pomiarów 3
4. Zróżnicowanie dopuszczalne poziomy pól elektromagnetycznych. 5
5. Charakterystyka źródeł PEM. 6
6. Wyniki pomiarów. 6
7. Stwierdzenie zgodności 7
8. Oświadczenie. 9
9. Spis załączników. 10

„Bez pisemnej zgody Laboratorium niniejsze sprawozdanie nie może być powielane inaczej, jak tylko w całości. Ponadto wyniki dotyczą tylko badanych obiektów przywołanych w niniejszym sprawozdaniu z badań”

1. Informacje ogólne.

Zleceniodawca – podmiot udzielający informacje	P4 sp. z o.o., ul. Wynalazek 1, 02-677 Warszawa
Istotne informacje dostarczone przez klienta	komplet informacji niezbędnych do wykonania pomiarów i opracowania sprawozdania
Dane otrzymane od klienta mogące mieć wpływ na ważność wyników	Dane anten sektorowych, dane anten radioliniowych, parametry pracy instalacji (w tym moce EIRP), ustawienie pochylenia anten, nazwa/nr obiektu, lokalizacja (adres) instalacji, współrzędne geograficzne instalacji
Prowadzący instalację	P4 sp. z o.o., ul. Wynalazek 1, 02-677 Warszawa
Lokalizacja obiektu	Marki, Fabryczna 1, pow. wołomiński, woj. mazowieckie
Miejsce instalacji anten	Dach budynku
Miejsce instalacji urządzeń	outdoor
Osoby wykonujące pomiar	Krzysztof Koziński
Data wykonania pomiaru	10.07.2025
Temperatura na początku pomiaru [°C]	16,0
Temperatura na koniec pomiaru [°C]	19,0
Warunki atmosferyczne	Brak opadów
Wilgotność na początku pomiaru [%]	84,9
Wilgotność na koniec pomiaru [%]	67,0
Godzina na początku pomiaru	9:40
Godzina na koniec pomiaru	13:14
Inne źródła pól elektromagnetycznych oznaczone na załączniku graficznym	Występują
Parametry pracy instalacji – informacja od klienta	Tryb eksploatacyjny

2. Podstawa prawna.

2.1 Normy i rozporządzenia:

- Ustawa z dnia 27 kwietnia 2001 r. Prawo Ochrony Środowiska (Dz.U. 2025 poz. 647)
- Rozporządzenia Ministra Zdrowia z dnia 17 grudnia 2019 r. w sprawie dopuszczalnych poziomów pól elektromagnetycznych w środowisku (Dz. U. z 2019 r., poz. 2448),
- Rozporządzenie Ministra Klimatu z dnia 17.02.2020 r. w sprawie sposobów sprawdzania dotrzymania dopuszczalnych poziomów pól elektromagnetycznych w środowisku (Dz. U. z 2022 r., poz. 2630).

„Bez pisemnej zgody Laboratorium niniejsze sprawozdanie nie może być powielane inaczej, jak tylko w całości. Ponadto wyniki dotyczą tylko badanych obiektów przywołanych w niniejszym sprawozdaniu z badań”

3. Opis pomiarów

Metodologia pomiarowa	Pomiary w oparciu o Rozporządzenie Ministra Klimatu z dnia 17 lutego 2020 r. w sprawie sposobów sprawdzania dotrzymania dopuszczalnych poziomów pól elektromagnetycznych w środowisku (Dz.U. 2022 poz. 2630).
Cel badań	Sprawdzenie dotrzymania dopuszczalnych poziomów pól elektromagnetycznych w środowisku.
Opis zestawu pomiarowego	Miernik Narda NBM 520 nr D-1661 - 15/WL, Sonda EF9091 nr A-0059 - 16/WL, o zakresie pomiarowym 0,7 V/m - 300V/m pracująca w paśmie 0,1 – 90 GHz, świadectwo wydane przez Laboratorium Wzorców i Metrologii Pola Elektromagnetycznego, Instytut Telekomunikacji, Teleinformatyki i Akustyki Politechniki Wrocławskiej. Świadectwo wzorcowania LWiMP/W/259/25 ważne do 26.06.2027. Miernik Narda NBM 520, Sonda EF 9091 pracująca w zakresie temperatury -10°C - +50°C oraz wilgotności 5% - 95%. Niepewność rozszerzona wynosi 58,0% przy poziomie ufności 95% z uwzględnieniem współczynnika rozszerzenia k=2.
Wyposażenie pomocnicze	Termohigrometr Termik+S nr 1490823 - 53/WL. Sprawdzany okresowo. Dalmierz laserowy BOSCH Professional GLM 40 nr 330204695 - WL/61. Sprawdzany okresowo. GPS Garmin 65 nr 6QA008956 - WL/62. Sprawdzany okresowo w punktach osnowy geodezyjnej, zgodnie z procedurą laboratorium PZ-6.5 sprawdzanie wewnętrzne WL.
Procedura doboru pionów pomiarowych	Laboratorium przed przystąpieniem do pomiarów wykonało obliczenia rozkładu pól elektromagnetycznych pochodzących od badanej instalacji (z wykorzystaniem superpozycji charakterystyk propagacyjnych od producenta anten) dla zastosowanych anten z uwzględnieniem topografii terenu, aktualnej zabudowy usługowo-mieszkaniowej oraz parametrów pracy urządzeń i anten otrzymanych od zleceniodawcy), przyjęło strategię pomiarową doboru pionów pomiarowych w oparciu o wykonane obliczenia oraz sporządzony dokument Analiza Obszaru Pomiarowego.
Odległość, do której zostały wykonane pomiary	Pomiary zostały wykonane do odległości, dla której, na podstawie uprzednio przeprowadzonych obliczeń, stwierdzono w miejscach dostępnych dla ludności występowanie pól elektromagnetycznych o najwyższym poziomie, które pochodzą z badanej instalacji.
Pomiary zostały wykonane	1. w miejscach dostępnych dla ludności, w szczególności w tych miejscach, w których, na podstawie uprzednio przeprowadzonych obliczeń, stwierdzono występowanie w danych zakresach częstotliwości pól elektromagnetycznych o poziomach zbliżonych do poziomów dopuszczalnych, określonych w przepisach wydanych na podstawie art. 122 ust. 1 ustawy z dnia 27 kwietnia 2001 r. – Prawo ochrony środowiska. 2. na obszarze pomiarowym, dla którego, na podstawie uprzednio przeprowadzonych obliczeń stwierdzono w miejscach dostępnych dla ludności występowanie pól elektromagnetycznych o najwyższym poziomie, które pochodzą z badanej instalacji zgodnie z wymaganiami pkt 5 ppkt 2 oraz pkt 13 ppkt 1 Rozporządzenia Ministra Klimatu z dnia 17 lutego 2020 r. w sprawie sposobów sprawdzania dotrzymania dopuszczalnych poziomów pól elektromagnetycznych w środowisku (Dz.U. 2022 poz. 2630). Wyniki obliczeń nie uwzględniały parametrów pracy instalacji innych operatorów występujących na obiekcie bądź w obszarze pomiarowym. 3. na głównych i pomocniczych kierunkach pomiarowych, na kierunkach

„Bez pisemnej zgody Laboratorium niniejsze sprawozdanie nie może być powielane inaczej, jak tylko w całości. Ponadto wyniki dotyczą tylko badanych obiektów przywołanych w niniejszym sprawozdaniu z badań”

zbliżonych do azymutów anten oraz w dodatkowych pionach pomiarowych zgodnie z wymaganiami pkt 13, 14 i 19 Rozporządzenia Ministra Klimatu z dnia 17 lutego 2020 r. (Dz.U. 2022 poz. 2630).

4. miejsca niedostępne podczas wykonywania pomiarów wskazane zostały w pkt 6 (tabeli wyniki pomiarów)
5. w dodatkowych pionach pomiarowych w lokalach oraz na balkonach i tarasach, na których mogą przebywać ludzie, po poinformowaniu o planowanych pomiarach z minimum 3-dniowym wyprzedzeniem i po umożliwieniu dostępu do lokalu, balkonu lub tarasu przez jego dysponenta lub bez zachowania terminu wskazanego w pierwszej części zdania za zgodą dysponenta przestrzeni pomiarowej.

Dobór dodatkowych pionów pomiarowych w lokalach oraz na balkonach i tarasach	Dodatkowe piony pomiarowe w lokalach, na balkonach i tarasach zostały wybrane zgodnie z procedurą laboratorium nr PP 7.3/7.4/7.5-11 drogą metod obliczeniowych, z uwzględnieniem: rodzaju badanej instalacji (w tym parametrów technicznych instalacji), lokalizacji badanej instalacji, ukształtowania terenu wokół badanej instalacji. Na podstawie obliczeń nie stwierdzono w lokalach, na balkonach i tarasach wartości nie mniejszych niż poziomów dopuszczalnych określonych w przepisach wydanych na podstawie art. 122 ust. 1 ustawy z dnia 27 kwietnia 2001 r. – Prawo ochrony środowiska.
Sposób powiadamiania dysponentów	Zgodnie z pkt 14 Rozporządzenia Ministra Klimatu z dnia 17 lutego 2020 r. w sprawie sposobów sprawdzania dotrzymania dopuszczalnych poziomów pól elektromagnetycznych w środowisku (Dz.U. 2022 poz. 2630). Informacji dokonuje się poprzez rządowy portal internetowy SI2PEM (https://si2pem.gov.pl) lub zawiadomienie spółdzielni mieszkaniowej, zarządcy nieruchomości, zarządu wspólnoty, umieszczenie informacji o planowanych pomiarach na tablicach ogłoszeń w klatkach schodowych bloków lub na drzwiach wejściowych, przekazanie zawiadomienia do administracji lub recepcji obiektu, pozostawienie informacji w skrzynkach pocztowych itp. lub przekazanie osobiste.
Warunki pracy urządzeń nadawczych	Tryb pracy eksploatacyjny.

4. Zróżnicowanie dopuszczalne poziomy pól elektromagnetycznych.

Zakresy znajdują się w Dzienniku Ustaw z dnia 17 grudnia 2019 r. przestawione są w tabeli nr 2 (Dz. U. z 2019r. poz. 2448).

Parametr fizyczny / Zakres Częstotliwości pola elektromagnetycznego	Składowa elektryczna E (V/m)	Składowa magnetyczna H (A/m)	Gęstość mocy S (W/m2)
od 400 MHz do 2000 MHz	$1{,}375 \times f^{0,5}$	$0{,}0037 \times f^{0,5}$	f / 200
od 2 GHz do 300 GHz	61	0,16	10

5. Charakterystyka źródeł PEM.

Zgodnie z informacja otrzymaną od Klienta pomiary zostały wykonane przy ustawieniach pochylenia anten zgodnych z pkt. 13, ppkt 2 Rozporządzenia Ministra Klimatu z dnia 17 lutego 2020 roku.

Tabela 1. Anteny sektorowe - dane otrzymane od klienta

Charakterystyka promieniowania		kierunkowa											
Rzeczywisty czas pracy [h/dobę]		24											
Rodzaj wytwarzanego pola		stacjonarne											
Lp	Wyszczególnienie	sektor 1				sektor 2				sektor 3			
I	**Nadajnik stacji bazowej:**												
1	Typ / Producent	DBS / SRAN Huawei											
2	Częstotliwość (pasmo) MHz	2100	1800	2100	1800	2600	900	800	3500	2100	1800	2100	1800
3	Maksymalna moc nadawana na sektor [dBm]	49,03	48,45	49,03	48,45	52,04	49,03	49,03	53,8	49,03	48,45	49,03	48,45
II	**Obciążenie:**												
1	Typ anteny	Huawei AMB4520R0		Huawei AMB4520R0		Huawei AQU4518R24			Huawei AAU5356	Huawei AMB4520R0		Huawei AMB4520R0	
2	Producent anteny	Huawei		Huawei		Huawei			Huawei	Huawei		Huawei	
3	Nazwa anteny	11_HN	11_HN	12_DL	12_DL	13_GHKV	13_GHKV	13_GHKV	14_Y	11_HN	11_HN	12_DL	12_DL
4	Ilość anten	1		1		1			1	1		1	
5	Azymut	1				31				61			
6	Zakres kątów pochylenia anten [°]	0-10				2-12	0-10	0-10	-15-15	0-10			
7	Wysokość zainst. n.p.t. [m]	25,85				26,55			27,15	25,85			
8	EIRP [W]	9285		9285		11287			15426	9285		9285	

Charakterystyka promieniowania		kierunkowa											
Rzeczywisty czas pracy [h/dobę]		24											
Rodzaj wytwarzanego pola		stacjonarne											
Lp	Wyszczególnienie	sektor 4				sektor 5				sektor 6			
I	**Nadajnik stacji bazowej:**												
1	Typ / Producent	DBS / SRAN Huawei											
2	Częstotliwość (pasmo) MHz	2100	1800	2100	1800	2600	900	800	3500	2100	1800	2100	1800
3	Maksymalna moc nadawana na sektor [dBm]	49,03	48,45	49,03	48,45	52,04	49,03	49,03	53,8	49,03	48,45	49,03	48,45
II	**Obciążenie:**												
1	Typ anteny	Huawei AMB4520R0		Huawei AMB4520R0		Huawei AQU4518R24			Huawei AAU5356	Huawei AMB4520R0		Huawei AMB4520R0	
2	Producent anteny	Huawei		Huawei		Huawei			Huawei	Huawei		Huawei	
3	Nazwa anteny	21_DL	21_DL	22_HN	22_HN	23_GHKV	23_GHKV	23_GHKV	24_Y	21_DL	21_DL	22_HN	22_HN
4	Ilość anten	1		1		1			1	1		1	
5	Azymut	121				151				181			
6	Zakres kątów pochylenia anten [°]	0-10				2-12	0-10	0-10	-15-15	0-10			
7	Wysokość zainst. n.p.t. [m]	25,85				26,55			27,15	25,85			
8	EIRP [W]	9066		9066		11287			15426	9066		9066	

„Bez pisemnej zgody Laboratorium niniejsze sprawozdanie nie może być powielane inaczej, jak tylko w całości. Ponadto wyniki dotyczą tylko badanych obiektów przywołanych w niniejszym sprawozdaniu z badań”

Charakterystyka promieniowania		kierunkowa											
Rzeczywisty czas pracy [h/dobę]		24											
Rodzaj wytwarzanego pola		stacjonarne											
Lp	Wyszczególnienie	sektor 7				sektor 8				sektor 9			
I	**Nadajnik stacji bazowej:**												
1	Typ / Producent	DBS / SRAN Huawei											
2	Częstotliwość (pasmo) MHz	2100	1800	2100	1800	2600	900	800	3500	2100	1800	2100	1800
3	Maksymalna moc nadawana na sektor [dBm]	49,03	48,45	49,03	48,45	52,04	49,03	49,03	44,8	49,03	48,45	49,03	48,45
II	**Obciążenie:**												
1	Typ anteny	Huawei AMB4520R0		Huawei AMB4520R0		Huawei AQU4518R24			Huawei AAU5356	Huawei AMB4520R0		Huawei AMB4520R0	
2	Producent anteny	Huawei		Huawei		Huawei			Huawei	Huawei		Huawei	
3	Nazwa anteny	31_HN	31_HN	32_DL	32_DL	33_GHK V	33_GHK V	33_GHK V	34_Y	31_HN	31_HN	32_DL	32_DL
4	Ilość anten	1		1		1			1	1		1	
5	Azymut	248				278				308			
6	Zakres kątów pochylenia anten [°]	0-10				2-12	0-10	0-10	-15-15	0-10			
7	Wysokość zainst. n.p.t. [m]	25,85				26,55			27,15	25,85			
8	EIRP [W]	9066		9066		11287			1942	9066		9066	

Tabela 2. Anteny radioliniowe- dane otrzymane od klienta
Brak anten

6. Wyniki pomiarów.

Wyniki pomiarów pól elektromagnetycznych dla celów ochrony środowiska przedstawia poniższa tabela. Piony pomiarowe zostały przedstawione w zał. 2.

Nr PP	Pole-E [V/m]	Pole-E, +U [V/m]	Pole-H [A/m]	Pole-H +U [A/m]	Wys. pomiaru [m]	Opis pionu	Uwagi	WM_E	WM_H
1	2,4	3,79	0,006	0,010	0,3-2,0	52°19'13.7"N 21°6'16.3"E	otoczenie stacji bazowej - wzdłuż gł. osi promieniowania - GKP	0,135	0,138
2	1,7	2,69	0,005	0,007	0,3-2,0	52°19'11.0"N 21°6'16.1"E	otoczenie stacji bazowej - wzdłuż gł. osi promieniowania - GKP	0,096	0,098
3	<0,8*	1,26	0,002	0,003	0,3-2,0	52°19'8.4"N 21°6'15.9"E	otoczenie stacji bazowej - wzdłuż gł. osi promieniowania - GKP	0,045	0,046
4	2,7	4,27	0,007	0,011	0,3-2,0	52°19'14.3"N 21°6'17.7"E	otoczenie stacji bazowej - wzdłuż gł. osi promieniowania - GKP	0,152	0,155
5	<0,8*	1,26	0,002	0,003	0,3-2,0	52°19'11.9"N 21°6'19.7"E	otoczenie stacji bazowej - wzdłuż gł. osi promieniowania - GKP	0,045	0,046
6	<0,8*	1,26	0,002	0,003	0,3-2,0	52°19'10.6"N 21°6'20.8"E	otoczenie stacji bazowej - wzdłuż gł. osi promieniowania - GKP	0,045	0,046
7	<0,8*	1,26	0,002	0,003	0,3-2,0	52°19'9.5"N 21°6'21.8"E	otoczenie stacji bazowej - wzdłuż gł. osi promieniowania - GKP	0,045	0,046
8	1,8	2,84	0,005	0,008	0,3-2,0	52°19'14.6"N 21°6'19.5"E	otoczenie stacji bazowej - wzdłuż gł. osi promieniowania - GKP	0,102	0,103
9	1,5	2,37	0,004	0,006	0,3-2,0	52°19'13.1"N 21°6'23.4"E	otoczenie stacji bazowej - wzdłuż gł. osi promieniowania - GKP	0,085	0,086
10	2,2	3,48	0,006	0,009	0,3-2,0	52°19'12.1"N 21°6'26.2"E	otoczenie stacji bazowej - wzdłuż gł. osi promieniowania - GKP	0,124	0,126
11	2,5	3,95	0,007	0,010	0,3-2,0	52°19'16.5"N 21°6'18.8"E	otoczenie stacji bazowej - wzdłuż gł. osi promieniowania - GKP	0,141	0,144
12	0,8	1,26	0,002	0,003	0,3-2,0	52°19'17.8"N 21°6'22.5"E	otoczenie stacji bazowej - wzdłuż gł. osi promieniowania - GKP	0,045	0,046
13	<0,8*	1,26	0,002	0,003	0,3-2,0	52°19'18.7"N 21°6'25.8"E	otoczenie stacji bazowej - wzdłuż gł. osi promieniowania - GKP	0,045	0,046
14	<0,8*	1,26	0,002	0,003	0,3-2,0	52°19'19.6"N 21°6'28.5"E	otoczenie stacji bazowej - wzdłuż gł. osi promieniowania - GKP	0,045	0,046
15	2,6	4,11	0,007	0,011	0,3-2,0	52°19'16.9"N 21°6'17.6"E	otoczenie stacji bazowej - wzdłuż gł. osi promieniowania - GKP	0,147	0,149
16	<0,8*	1,26	0,002	0,003	0,3-2,0	52°19'20.0"N 21°6'20.8"E	otoczenie stacji bazowej - wzdłuż gł. osi promieniowania - GKP	0,045	0,046

„Bez pisemnej zgody Laboratorium niniejsze sprawozdanie nie może być powielane inaczej, jak tylko w całości. Ponadto wyniki dotyczą tylko badanych obiektów przywołanych w niniejszym sprawozdaniu z badań”

Nr PP	Pole-E [V/m]	Pole-E, +U [V/m]	Pole-H [A/m]	Pole-H +U [A/m]	Wys. pomiaru [m]	Opis pionu	Uwagi	WM_E	WM_H
17	<0,8*	1,26	0,002	0,003	0,3-2,0	52°19'21.6"N 21°6'22.8"E	otoczenie stacji bazowej - wzdłuż gł. osi promieniowania - GKP	0,045	0,046
18	2,7	4,27	0,007	0,011	0,3-2,0	52°19'18.1"N 21°6'16.6"E	otoczenie stacji bazowej - wzdłuż gł. osi promieniowania - GKP	0,152	0,155
19	0,8	1,26	0,002	0,003	0,3-2,0	52°19'20.4"N 21°6'16.9"E	otoczenie stacji bazowej - wzdłuż gł. osi promieniowania - GKP	0,045	0,046
20	1,4	2,21	0,004	0,006	0,3-2,0	52°19'23.3"N 21°6'16.9"E	otoczenie stacji bazowej - wzdłuż gł. osi promieniowania - GKP	0,079	0,080
21	1,8	2,84	0,005	0,008	0,3-2,0	52°19'17.2"N 21°6'13.8"E	otoczenie stacji bazowej - wzdłuż gł. osi promieniowania - GKP	0,102	0,103
22	2,0	3,16	0,005	0,008	0,3-2,0	52°19'19.2"N 21°6'9.9"E	otoczenie stacji bazowej - wzdłuż gł. osi promieniowania - GKP	0,113	0,115
23	<0,8*	1,26	0,002	0,003	0,3-2,0	52°19'20.4"N 21°6'7.7"E	otoczenie stacji bazowej - wzdłuż gł. osi promieniowania - GKP	0,045	0,046
24	1,7	2,69	0,005	0,007	0,3-2,0	52°19'16.2"N 21°6'13.3"E	otoczenie stacji bazowej - wzdłuż gł. osi promieniowania - GKP	0,096	0,098
25	1,5	2,37	0,004	0,006	0,3-2,0	52°19'16.7"N 21°6'7.9"E	otoczenie stacji bazowej - wzdłuż gł. osi promieniowania - GKP	0,085	0,086
26	0,9	1,42	0,002	0,004	0,3-2,0	52°19'16.9"N 21°6'6.0"E	otoczenie stacji bazowej - wzdłuż gł. osi promieniowania - GKP	0,051	0,052
27	1,1	1,74	0,003	0,005	0,3-2,0	52°19'15.1"N 21°6'13.4"E	otoczenie stacji bazowej - wzdłuż gł. osi promieniowania - GKP	0,062	0,063
28	1,0	1,58	0,003	0,004	0,3-2,0	52°19'14.5"N 21°6'10.8"E	otoczenie stacji bazowej - wzdłuż gł. osi promieniowania - GKP	0,056	0,057
29	2,3	3,63	0,006	0,010	0,3-2,0	52°19'14.0"N 21°6'8.2"E	otoczenie stacji bazowej - wzdłuż gł. osi promieniowania - GKP	0,130	0,132
30	1,5	2,37	0,004	0,006	0,3-2,0	52°19'13.2"N 21°6'4.7"E	otoczenie stacji bazowej - wzdłuż gł. osi promieniowania - GKP	0,085	0,086
A	1,3	2,05	0,003	0,005	0,3-2,0	52°19'15.8"N 21°6'16.1"E	Fabryczna 1, przychodnia NFZ, pomiar w otworze okiennym, piętro 2, lokal 203 - DPP	0,073	0,075
	1,0	1,58	0,003	0,004	0,3-2,0		Fabryczna 1, przychodnia NFZ pomiar w otworze okiennym, piętro 1, rejestracja - DPP	0,056	0,057
B	7,5	11,85	0,020	0,031	0,3-2,0	52°19'14.7"N 21°6'16.6"E	Fabryczna 2c, pomiar na balkonie, piętro 2 -DPP	0,423	0,431
	4,4	6,95	0,012	0,018	0,3-2,0		Fabryczna 2c, pomiar na balkonie, piętro 1 -DPP	0,248	0,253
C	6,5	10,27	0,017	0,027	0,3-2,0	52°19'15.7"N 21°6'13.5"E	Fabryczna 2, Ośrodek Kultury, pomiar w otworze okiennym, piętro 2 -DPP	0,367	0,373
	2,5	3,95	0,007	0,010	0,3-2,0		Fabryczna 2, Ośrodek Kultury, pomiar w otworze okiennym, piętro 1 -DPP	0,141	0,144
D	2,8	4,42	0,007	0,012	0,3-2,0	52°19'17.4"N 21°6'16.6"E	Al. Marsz. J. Piłsudskiego 94, Stomatologia, budynek parterowy, pomiar przy budynku -DPP	0,158	0,161
E	4,2	6,64	0,011	0,018	0,3-2,0	52°19'17.3"N 21°6'17.7"E	Braci Briggsów 2, pomiar w otworze okiennym, piętro 2 -DPP	0,237	0,241
	3,6	5,69	0,010	0,015	0,3-2,0		Braci Briggsów 2, pomiar na balkonie, piętro 1 -DPP	0,203	0,207
F	5,4	8,53	0,014	0,023	0,3-2,0	52°19'16.7"N 21°6'19.2"E	Braci Briggsów 6, pomiar w otworze okiennym, piętro 2 -DPP	0,305	0,310
	3,2	5,06	0,008	0,013	0,3-2,0		Braci Briggsów 6, pomiar na balkonie, piętro 1 -DPP	0,181	0,184
G	1,2	1,90	0,003	0,005	0,3-2,0	52°19'16.5"N 21°6'23.4"E	Braci Briggsów 11, pustostan, pomiar przy otworze okiennym, przed budynkiem -DPP	0,068	0,069
H	1,5	2,37	0,004	0,006	0,3-2,0	52°19'20.4"N 21°6'20.9"E	Al. Marsz. J. Piłsudskiego 96, szkoła – liceum ogólnokształcące, pomiar w otworze okiennym, piętro 2, sala 4 -DPP	0,085	0,086
	1,0	1,58	0,003	0,004	0,3-2,0		Al. Marsz. J. Piłsudskiego 96, szkoła – liceum ogólnokształcące, pomiar w otworze okiennym, piętro 1, sala 2 -DPP	0,056	0,057
I	2,0	3,16	0,005	0,008	0,3-2,0	52°19'18.5"N 21°6'16.3"E	Braci Briggsów 1, pustostan, pomiar przed posesją -DPP	0,113	0,115

„Bez pisemnej zgody Laboratorium niniejsze sprawozdanie nie może być powielane inaczej, jak tylko w całości. Ponadto wyniki dotyczą tylko badanych obiektów przywołanych w niniejszym sprawozdaniu z badań”

Nr PP	Pole-E [V/m]	Pole-E, +U [V/m]	Pole-H [A/m]	Pole-H +U [A/m]	Wys. pomiaru [m]	Opis pionu	Uwagi	WM_E	WM_H
J	3,9	6,16	0,010	0,016	0,3-2,0	52°19'21.2"N 21°6'15.3"E	Al. Marsz. J. Piłsudskiego 73, pomiar w otworze okiennym, piętro 1 -DPP	0,220	0,224
	1,7	2,69	0,005	0,007	0,3-2,0		Al. Marsz. J. Piłsudskiego 73, pomiar w otworze okiennym, parter -DPP	0,096	0,098
J1	2,8	4,42	0,007	0,012	0,3-2,0	52°19'20.7"N 21°6'15.5"E	Al. Marsz. J. Piłsudskiego 73, sklep „Motoszklarnia", budynek parterowy, pomiar przy otworze okiennym, przed budynkiem -DPP	0,158	0,161
K	5,9	9,32	0,016	0,025	0,3-2,0	52°19'19.6"N 21°6'9.5"E	P. Skargi 31, pomiar na balkonie, piętro 1 -DPP	0,333	0,339
	1,3	2,05	0,003	0,005	0,3-2,0		P. Skargi 31, pomiar w otworze okiennym, parter -DPP	0,073	0,075
L	1,4	2,21	0,004	0,006	0,3-2,0	52°19'16.8"N 21°6'9.5"E	P. Skargi 20, pustostan, pomiar przy otworze okiennym, przed budynkiem -DPP	0,079	0,080
M	2,1	3,32	0,006	0,009	0,3-2,0	52°19'13.9"N 21°6'8.5"E	Al. Marsz. J. Piłsudskiego 47, dom handlowo-usługowy, pomiar przy otworze okiennym, przed budynkiem -DPP	0,119	0,121
N	3,8	6,00	0,010	0,016	0,3-2,0	52°19'10.3"N 21°6'16.0"E	I. J. Paderewskiego 10, pomiar na balkonie, piętro 1 -DPP	0,214	0,218
	2,2	3,48	0,006	0,009	0,3-2,0		I. J. Paderewskiego 10, pomiar na tarasie, parter -DPP	0,124	0,126
O	<0,8*	1,26	0,002	0,003	0,3-2,0	52°19'10.8"N 21°6'20.7"E	M. Rodziewiczówny 21, pomiar przy bramie wjazdowej -DPP	0,045	0,046
O1	3,0	4,74	0,008	0,013	0,3-2,0	52°19'11.6"N 21°6'20.8"E	M. Rodziewiczówny 23, pomiar w otworze okiennym, piętro 2 -DPP	0,169	0,172
	<0,8*	1,26	0,002	0,003	0,3-2,0		M. Rodziewiczówny 23, pomiar w otworze okiennym, piętro 1 -DPP	0,045	0,046
	<0,8*	1,26	0,002	0,003	0,3-2,0		M. Rodziewiczówny 23, pomiar w otworze okiennym, parter -DPP	0,045	0,046
P	1,2	1,90	0,003	0,005	0,3-2,0	52°19'13.8"N 21°6'24.0"E	Fabryczna 13, pomiar w otworze okiennym, piętro 1 -DPP	0,068	0,069
	<0,8*	1,26	0,002	0,003	0,3-2,0		Fabryczna 13, pomiar na tarasie, parter -DPP	0,045	0,046

Wynik pomiaru pole - E [V/m] - maksymalna wartość chwilowa zmierzona w danym pionie pomiarowym (uśredniona na podstawie punktu 11 załącznika do Rozporządzenia Ministra Klimatu z dnia 17 lutego 2020 r. w sprawie sposobów sprawdzania dotrzymania dopuszczalnych poziomów pól elektromagnetycznych w środowisku (Dz.U. 2022 poz. 2630)). Zgodnie z pkt. 7 załącznika do Rozporządzenia Ministra Klimatu z dnia 17 lutego 2020 r. w sprawie sposobów sprawdzania dotrzymania dopuszczalnych poziomów pól elektromagnetycznych w środowisku (Dz.U. 2022 poz. 2630) nie stosuje się poprawek pomiarowych.

Przyjęto najniższą dopuszczalną wartość składowej elektrycznej pola dla objętego pomiarami zakresu częstotliwości $min(ME_{gr})$= 28 V/m oraz składowej magnetycznej $min(MH_{gr})$= 0,073 A/m.

* - wartość zmierzona poniżej zakresu akredytacji. Do obliczeń przyjęto wartość zgodną z dolną granicą akredytowanego zakresu pomiarowego metody.

GKP - główne kierunki pomiarowe

PKP - pomocnicze kierunki pomiarowe

DPP - dodatkowe punkty pomiarowe

PP - pion pomiarowy

U - niepewność pomiarowa rozszerzona, przy poziomie ufności 95%, z uwzględnieniem współczynnika rozszerzenia k=2

WM_E - wartość wskaźnikowa poziomu emisji pól elektromagnetycznych dla miejsc dostępnych dla ludności dla składowej elektrycznej pola

WM_H - wartość wskaźnikowa poziomu emisji pól elektromagnetycznych dla miejsc dostępnych dla ludności dla składowej magnetycznej pola

7. Stwierdzenie zgodności

Na podstawie wytycznych podanych w Rozporządzeniu Ministra Zdrowia z dnia 17 grudnia 2019 r. w sprawie dopuszczalnych poziomów pól elektromagnetycznych w środowisku (Dz.U. 2019 poz. 2448) oraz sposobów sprawdzania dotrzymania tych poziomów zgodnie z Rozporządzeniem Ministra Klimatu z dnia 17 lutego 2020 r. w

sprawie sposobów sprawdzania dotrzymania dopuszczalnych poziomów pól elektromagnetycznych w środowisku (Dz.U. 2022 poz. 2630), dotyczących źródła wymagań, które muszą być spełnione, w oparciu o zasadę podejmowania decyzji zgodną z pkt. 26 Rozporządzenia Ministra Klimatu z dnia 17 lutego 2020 r. (Dz.U. 2022 poz. 2630), na podstawie wyników pomiarów pól elektromagnetycznych wykonanych w dniu 10.07.2025 stwierdzono, że wszystkie wyniki przeprowadzonych pomiarów w danym obszarze pomiarowym oraz wyznaczone na tej postawie wskaźniki WM_E oraz WM_H są mniejsze od wartości dopuszczalnych – zgodnie z przepisami wydanymi na podstawie art. 122 ust. 1 ustawy z dnia 27 kwietnia 2001 r. – Prawo ochrony środowiska – załącznikiem do Rozporządzenia Ministra Klimatu i Środowiska z dnia 17 lutego 2020 r. w sprawie sposobów sprawdzania dotrzymywania dopuszczalnych poziomów pól elektromagnetycznych w środowisku (Dz.U. 2022 poz. 2630, pkt 26).

8. Oświadczenie.

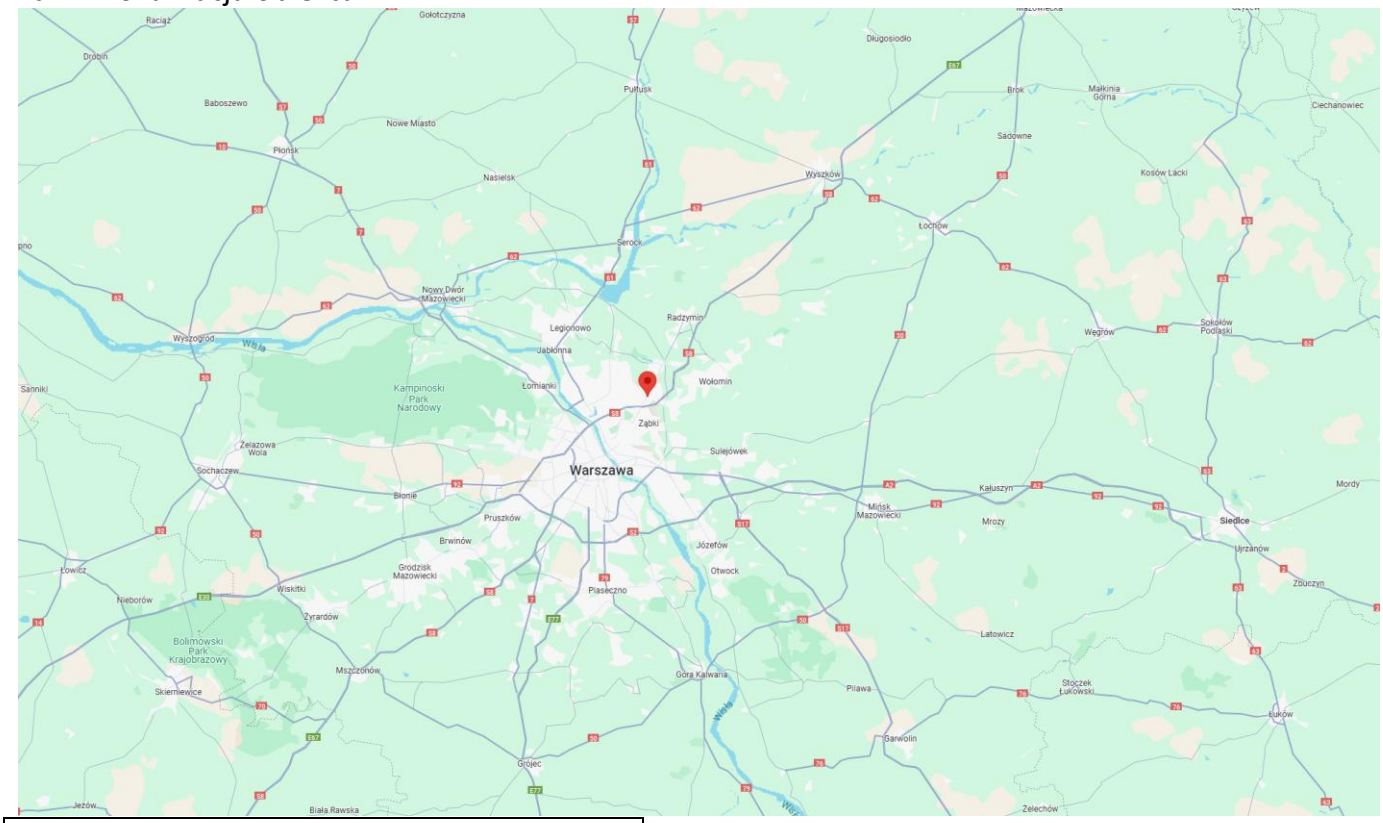
Wyniki badania odnoszą się wyłącznie do badanego obiektu.
Bez pisemnej zgody sprawozdanie nie może być powielane inaczej, jak tylko w całości.
Uwagi i zastrzeżenia przyjmowane są w formie pisemnej.

9. Spis załączników.

Zał. 1. Lokalizacja obiektu.
Zał. 2. Widok pionów pomiarowych
Zał. 3. Załączniki graficzne

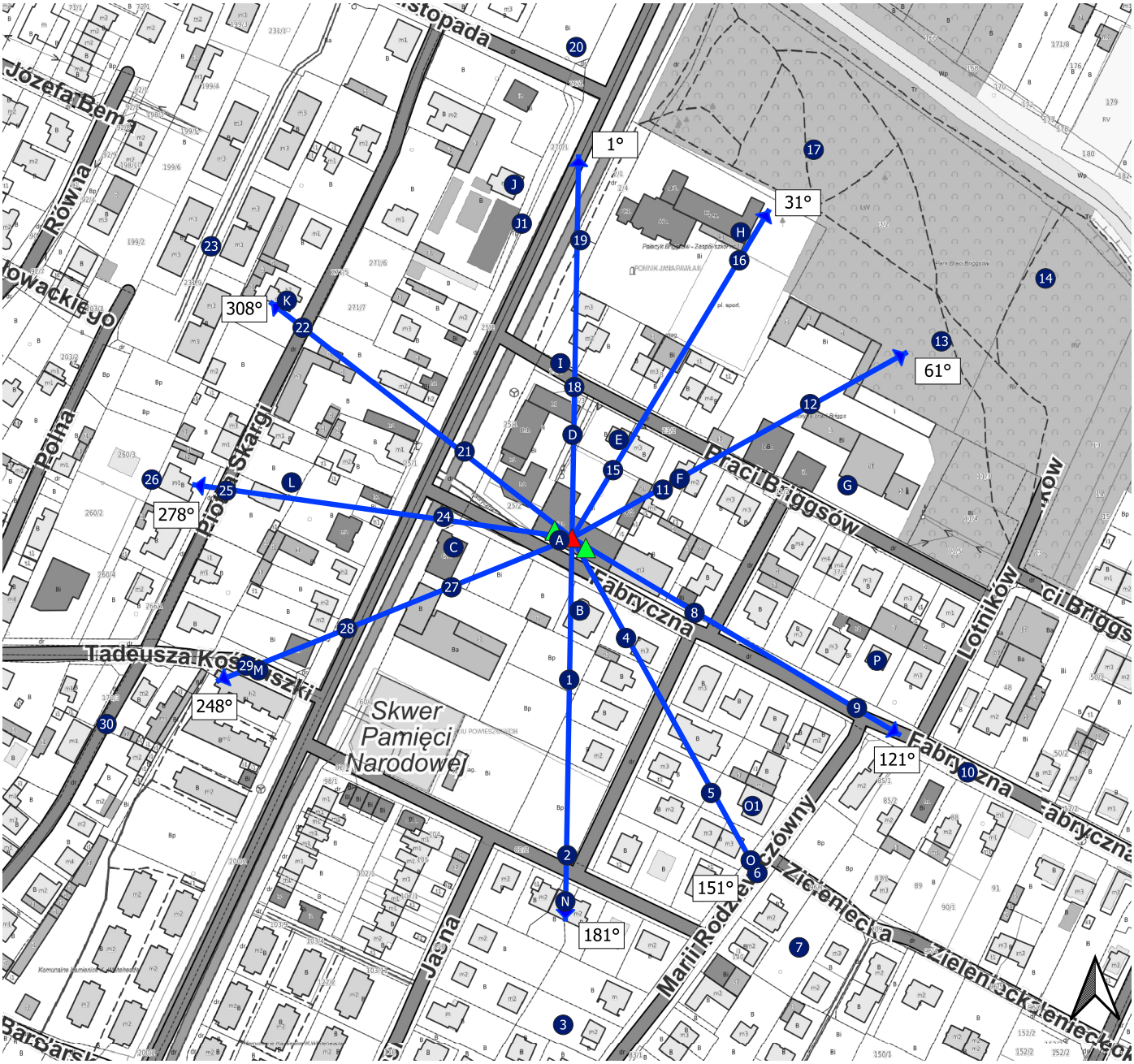
Koniec sprawozdania

Zał. 1. Lokalizacja obiektu



Współrzędne geograficzne – informacja od klienta	
długość:	21°06'15.89"E
szerokość:	52°19'16.04"N

Zał. 2. Widok pionów pomiarowych



LEGENDA:

- pion pomiarowy
- inna instalacja radiokomunikacyjna
- instalacja radiokomunikacyjna dla której wykonano pomiar
- antena sektorowa
- antena radioliniowa
- brak dostępu

Pomiary wykonano do odległości:
- dla az. 1° - 230 metrów
- dla az. 31° - 220 metrów
- dla az. 61° - 260 metrów
- dla az. 121° - 220 metrów
- dla az. 151° - 220 metrów
- dla az. 181° - 230 metrów
- dla az. 248° - 240 metrów
- dla az. 278° - 200 metrów
- dla az. 308° - 220 metrów

Skala: 1:2900

0 50 100 m

„Bez pisemnej zgody Laboratorium niniejsze sprawozdanie nie może być powielane inaczej, jak tylko w całości. Ponadto wyniki dotyczą tylko badanych obiektów przywołanych w niniejszym sprawozdaniu z badań”

Zał. 3. Załączniki graficzne.



„Bez pisemnej zgody Laboratorium niniejsze sprawozdanie nie może być powielane inaczej, jak tylko w całości. Ponadto wyniki dotyczą tylko badanych obiektów przywołanych w niniejszym sprawozdaniu z badań”